# МОДИФИЦИРОВАННЫЙ ЗОЛЬ-ГЕЛЬ МЕТОД ПОЛУЧЕНИЯ AL<sub>2</sub>O<sub>3</sub>

#### Л. Сметанина

#### lyuba.smetanina@mail.ru

Научный руководитель: Воронова Г.А., доцент кафедры НМНТ ТПУ,

#### Введение

Оксид алюминия – амфотерный оксид [1, с. 6], имеющий множество аллотропных модификаций [2, с. 6].

Высокотемпературный  $\alpha - Al_2O_3$  химически инертен, негигроскопичен. Порошки корунда используются для создания абразивов, высокопрочной и огнеупорной керамики [3, c. 6].

Существует также ряд низкотемпературных модификаций оксида алюминия. Наиболее широкое применение нашла  $\gamma$ -модификация, в литературе называемая активным оксидом алюминия. Порошки  $\gamma$  —  $Al_2O_3$  нашли применение как катализаторы [4, c. 6] и адсорбенты.

Сейчас существует много методик получения  $Al_2O_3$  в наноструктурном состоянии: вакуумное распыление, лазерное испарение, золь-гель метод.

#### Актуальность

В золь-гель синтезе традиционно используются алкоголяты металлов, однако они достаточно дорогостоящие.

В данной работе представлен метод, в котором в качестве реактивов используется нитрат алюминия и яблочная кислота. Использование данных значительно уменьшает стоимость процесса получения оксида алюминия.

#### Цель исследования

Целью данной работы является получение оксида алюминия модифицированным золь-гель методом.

#### Блок - эксперимент

#### I. Синтез Al<sub>2</sub>O<sub>3</sub>

Pеактивы:  $Al(NO_3)_3 * 9H_2O - x$ . ч. порошок;  $C_4H_6O_5$  – пищевой порошок.

Схема эксперимента:

- 1. 10 г Al(NO<sub>3</sub>)<sub>3</sub> размешиваем в 50мл воды.
- 2. Добавляем 3 г яблочной кислоты.
- 3. Нагреваем до 80 °С в течении 3 часов.
- 4. Помещаем в термостат при 60 °С на сутки.
- 5. Нагреваем при 80 °C до образования геля.
- 6. Сушим а термошкафу при 60 °С в течении 2 суток.
- 7. Спекаем высушенные волокна при 600 °C, 700 °C, 800 °C, 900 °C со скоростью нагрева 5 °C/мин.

### II. Исследование адсорбционной способности образцов

- 1. Подготовим 3 раствора эозина с различной концентрацией: 4 мг/л, 8 мг/л, 12 мг/л.
- 2. С помощью электрических весов отмерим 12 мг образца.
- 3. Замеряем коэффициент пропускания света  $T_{\text{исх}}$  без порошка.
- 4. В 12 мл раствора добавим 12 мг порошка из расчета 1 мг на 1 мл.
- 5. Проводим измерения коэффициентов  $T_1$ ,  $T_2$ ,  $T_3$  и  $T_4$  через 1 час, 2 часа, 3 часа и сутки соответственно с помощью спектрофотометра (Pd Spectrophotometer, Япония) при длине волны 490 нм.
- 6. Подсчитываем концентрации эозина в растворе  $C_1$ ,  $C_2$ ,  $C_3$  и  $C_4$  через 1 час, 2 часа, 3 часа и сутки соответственно по формуле следствию из закона Бугера–Ламберта–Бера:

$$C = C_{\text{ucx}} \cdot \frac{D}{D_{\text{ucx}}},$$

где D – оптическая плотность, рассчитываемая по формуле:

$$D = -\log T$$
.

# Обсуждение результатов

Фазовый состав, полученых образцов, а также ОКР были получены с помощью рентгенофазового анализа. Из результатов РФА следует, что порошки, прокаленные при 600 и 700 °C, представляют собой аморфный  $Al_2O_3$ , порошки же, подвергнутые термообработке при 800 и 900 °C представляют собой  $\gamma$ - $Al_2O_3$ .

Эксперимент по адсорбции эозина проводился в два этапа, в первом случае при помещении порошка в раствор производилось ручное перемешивание. Во втором случае мы подвергали растворы ультразвуковому воздействию.

Для первого случая (рис. 1) видно, что количество адсорбированного эозина незначительно во всех случаях. При концентрации эозина 4 мг/л и 8 мг/л большую адсорбционную способность показал образец, отожжённый при  $800~^{\circ}$ С. При концентрации эозина  $12~^{\circ}$ мг/л большую адсорбционную способность показал образец, отожжённый при  $700~^{\circ}$ С.

Для второго случая (рис. 2) видно, что количество адсорбированного эозина выше, чем в эксперименте без применения ультразвука. При концентрации эозина 4мг/л, 8мг/л, 12мг/л большую адсорбционную способность показал образец, отожжённый при 900 °C.

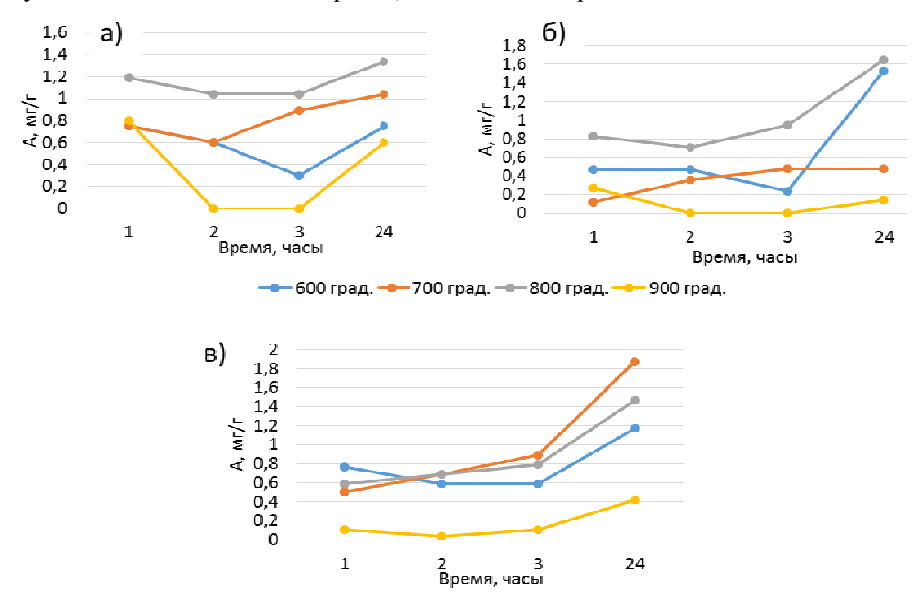


Рисунок 1. Зависимость величины адсорбции эозина от времени при: а - концентрации эозина 4 мг/л; 6 – при концентрации эозина 8 мг/л; в – при концентрации эозина 12 мг/л (без применения ультразвука)

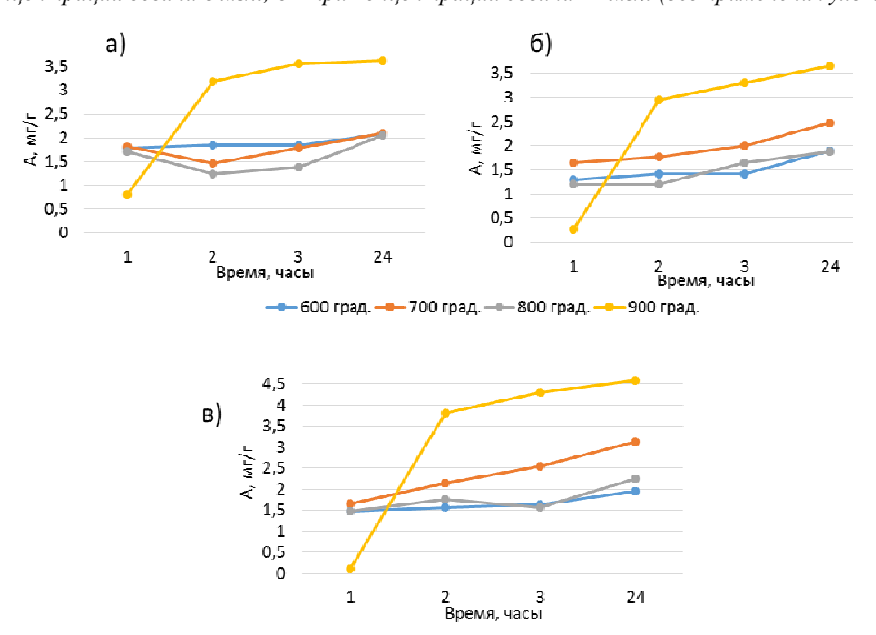


Рисунок 2. Зависимость величины адсорбции эозина от времени при: а - концентрации эозина 4 мг/л; б – при концентрации эозина 8 мг/л; в – при концентрации эозина 12 мг/л (с применением ультразвука)

#### Заключение

В результате проделанной работы нами были получены образцы аморфного и активного оксида алюминия, а также гамма фаза, с небольшим содержанием корунда.

Способность порошков к адсорбции эозина позволяет сделать вывод о том, что поверхность частиц порошка заряжена положительно.

Модифицированный золь-гель метод получения оксида алюминия требует большего количества времени, чем традиционный метод, но является менее дорогостоящим.

## Список литературы

- 1. Рабинович В.А. Краткий химический справочник / В.А. Рабинович. Ленинград : Химия,  $1991.-432\ c.$
- 2. Котов Ю.А. Характеристики нанопорошков оксида алюминия, полученных методом электрического взрыва проволоки / Ю.А. Котов, А.В. Баразеев // Российские Нано Технологии. 2007. № 7–8. Т. 2. С. 109–115.
- 3. Хасанов О.Л. Новые методы компактирования сухих нано- и полидисперсных порошков под ультразвуковым воздействием и коллекторным способом. Консолидация керамических наноматериалов методом SPS / О.Л. Хасанов // Томский политехнический университет. 2010.
- 4. Debecker D. Genesis of active and inactive species during the preparation of MoO3/SiO2-Al2O3 metathesis catalysts via wet impregnation / D. Debecker, M. Stoyanova, U. Rodemerck, B. Su, E. Gaigneaux, Leonard // Catalysis today. 2011. Vol. 169. P. 60–68.